

TD7

TD 7 / DÉTECTOR DES PHOTONS

Objectifs pédagogiques

A la fin de cette thématique, les étudiant·e·s seront capables de :

- décrire le fonctionnement d'une photodiode
- lister et comparer les performances des différents systèmes de photodétection (incluant un système d'acquisition ou de visualisation)
- modéliser la chaîne d'acquisition de photons à l'aide d'une photodiode

Activités pédagogiques

- Lectures (hors temps présentiel - en ligne)
 - ▷ Fiche résumé : Diodes / LED / Photodiodes
 - ▷ Fiche résumé : Photodétection
- Séance de TD7
- Séances de TP1 et TP2 (module TP CéTI)

Ressources Complémentaires

- Cours sur les diodes - Henri Benisty (2012)
- Exercices supplémentaires proposés sur eCampus (avec correction)

TD7

TD 7 / DÉTECTER DES PHOTONS

Exercice 1 - Photodiode et système de détection

Notions abordées

- ▷ paramètres importants d'une photodiode

On se propose d'étudier la documentation technique de la photodiode SFH donnée en annexe.

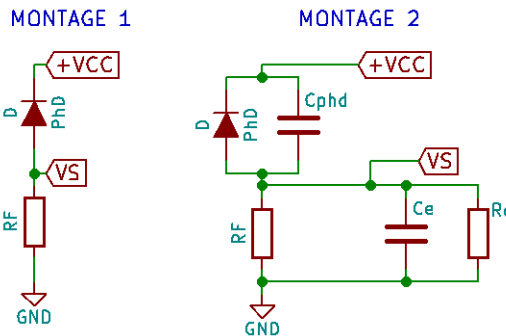
Précisez quels sont les paramètres importants à prendre en considération pour le choix et l'utilisation d'une photodiode.

Exercice 2 - Photodiode et système de détection

Notions abordées

- ▷ modèle de la photodiode
- ▷ système de photodétection

On se propose d'étudier successivement ces deux montages :



1. Calculer la tension V_S en fonction du courant résultant de la photodiode, qu'on notera I_{phd} pour le montage 1.
2. calculer la tension V_S en fonction du flux lumineux reçu, noté Φ_e , si on note k la sensibilité (en A/W) de la photodiode pour le montage 1.
3. A quoi peut correspondre l'impédance composée de R_e et C_e dans le montage 2 ?
4. A quoi correspond la capacité C_{phd} dans le montage 2 ?

Exercice 3 - Modèle « petits signaux » du système de photodétection

Notions abordées

- ▷ étude en régime harmonique
- ▷ modélisation et limitation d'un système de photodétection « simple » (sans ALI)

On supposera dans la suite de ce problème que le système est linéaire et que le flux lumineux reçu est une combinaison d'un flux constant et d'une somme de flux sinusoïdaux, pouvant s'écrire :

$$\phi_{lum}(t) = \Phi_{ambiant} + \sum_{i=1}^N \phi_i \cdot \sin(\omega_i \cdot t)$$

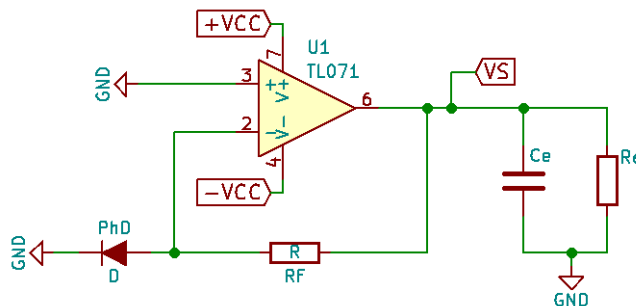
1. Montrer que par application du théorème de superposition, on peut décomposer l'étude de ce montage en 2 études distinctes, dont on donnera les schémas équivalents : (a) une étude en continu et (b) une étude en petits signaux.
2. Calculer V_{Scont} correspondant à l'étude en continu du système, en fonction de $\Phi_{ambiant}$ et des différents éléments du montage.
3. Calculer $V_S(f_i)$ correspondant à l'étude en petits signaux pour une fréquence particulière f_i , en fonction de ϕ_i et des éléments du montage.
4. Quel type de comportement obtient-on ? De quoi dépend-il ?

Exercice 4 - Montage transimpédance

Notions abordées

- ▷ fonction de transfert d'un montage transimpédance
- ▷ avantages et limitations d'un montage transimpédance

On considère le montage récepteur à photodiode suivant. L'amplificateur linéaire intégré (ALI) est alimenté en ± 15 V. On note $\Phi_{lum}(t)$ le flux lumineux reçu par la photodiode et k sa sensibilité.



1. Donner le modèle petits signaux du montage.
2. Exprimer la tension de sortie $V_S(f_i)$ en fonction de ϕ_i et des éléments du montage.

Silizium-PIN-Fotodiode mit sehr kurzer Schaltzeit
Silicon PIN Photodiode with Very Short Switching Time
Lead (Pb) Free Product - RoHS Compliant

SFH 229
SFH 229 FA



SFH 229



SFH 229 FA

Wesentliche Merkmale

- Speziell geeignet für Anwendungen im Bereich von 380 nm bis 1100 nm (SFH 229) und bei 880 nm (SFH 229 FA)
- Kurze Schaltzeit (typ. 10 ns)
- 3 mm-Plastikbauform im LED-Gehäuse
- Auch gegurtet lieferbar

Anwendungen

- Lichtschranken für Gleich- und Wechselbetrieb
- Industrieelektronik
- „Messen/Steuern/Regeln“

Features

- Especially suitable for applications from 380 nm to 1100 nm (SFH 229) and of 880 nm (SFH 229 FA)
- Short switching time (typ. 10 ns)
- 3 mm LED plastic package
- Also available on tape and reel

Applications

- Photointerrupters
- Industrial electronics
- For control and drive circuits

| Typ Type | Bestellnummer Ordering Code |
|-------------|--------------------------------|
| SFH 229 | Q62702P0215 |
| SFH 229 FA | Q62702P0216 |

Grenzwerte**Maximum Ratings**

| Bezeichnung Parameter | Symbol Symbol | Wert Value | Einheit Unit |
|--------------------------------------------------------------------------|------------------------------------|----------------|-----------------|
| Betriebs- und Lagertemperatur Operating and storage temperature range | T_{op} ; T_{stg} | - 40 ... + 100 | °C |
| Sperrspannung Reverse voltage | V_R | 20 | V |
| Verlustleistung Total power dissipation | P_{tot} | 150 | mW |

Kennwerte ($T_A = 25$ °C)**Characteristics**

| Bezeichnung Parameter | Symbol Symbol | Wert Value | | Einheit Unit |
|-------------------------------------------------------------------------------------------------------------------------------------------------------------------------|---------------------------|-----------------------|-------------------------|---------------------|
| | | SFH 229 | SFH 229 FA | |
| Fotostrom Photocurrent $V_R = 5$ V, Normlicht/standard light A, $T = 2856$ K, $E_V = 1000$ lx $V_R = 5$ V, $\lambda = 950$ nm, $E_e = 1$ mW/cm ² | I_P | 28 (≥ 18) — | — 20 (≥ 10.8) | A |
| Wellenlänge der max. Fotoempfindlichkeit Wavelength of max. sensitivity | $\lambda_{S \text{ max}}$ | 860 | 900 | nm |
| Spektraler Bereich der Fotoempfindlichkeit $S = 10\%$ von S_{max} Spectral range of sensitivity $S = 10\%$ of S_{max} | λ | 380 ... 1100 | 730 ... 1100 | nm |
| Bestrahlungsempfindliche Fläche Radiant sensitive area | A | 0.3 | 0.3 | mm ² |
| Abmessung der bestrahlungsempfindlichen Fläche Dimensions of radiant sensitive area | L B L W | 0.56 0.56 | 0.56 0.56 | mm mm |
| Halbwinkel Half angle | φ | ±17 | ±17 | Grad deg. |
| Dunkelstrom, $V_R = 10$ V Dark current | I_R | 50 (≤ 5000) | 50 (≤ 5000) | pA |
| Spektrale Fotoempfindlichkeit, $\lambda = 850$ nm Spectral sensitivity | S_λ | 0.62 | 0.60 | A/W |
| Quantenausbeute, $\lambda = 850$ nm Quantum yield | η | 0.90 | 0.88 | Electrons Photon |

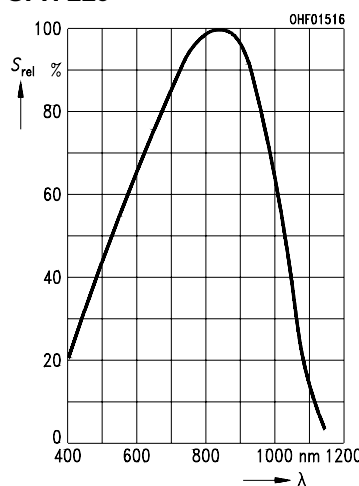
Kennwerte ($T_A = 25^\circ\text{C}$)**Characteristics (cont'd)**

| Bezeichnung Parameter | Symbol Symbol | Wert Value | | Einheit Unit |
|---------------------------------------------------------------------------------------------------------------------------------------------------------------------------------------|--------------------------|-----------------------|----------------------|-------------------------------------|
| | | SFH 229 | SFH 229 FA | |
| Leerlaufspannung Open-circuit voltage $E_v = 1000 \text{ lx}$, Normlicht/standard light A, $T = 2856 \text{ K}$ $E_e = 0.5 \text{ mW/cm}^2$, $\lambda = 950 \text{ nm}$ | V_O | 450 (≥ 400) | — | mV |
| | V_O | — | 420 (≥ 370) | mV |
| Kurzschlußstrom Short-circuit current $E_v = 1000 \text{ lx}$, Normlicht/standard light A, $T = 2856 \text{ K}$ $E_e = 0.5 \text{ mW/cm}^2$, $\lambda = 950 \text{ nm}$ | I_{SC} | 27 | — | A |
| | I_{SC} | — | 9 | A |
| Anstiegs- und Abfallzeit des Fotostromes Rise and fall time of the photocurrent $R_L = 50 \Omega$; $V_R = 10 \text{ V}$; $\lambda = 850 \text{ nm}$; $I_p = 800 \text{ A}$ | t_r, t_f | 10 | 10 | ns |
| Durchlaßspannung, $I_F = 100 \text{ mA}$, $E = 0$ Forward voltage | V_F | 1.3 | 1.3 | V |
| Kapazität, $V_R = 0 \text{ V}$, $f = 1 \text{ MHz}$, $E = 0$ Capacitance | C_0 | 13 | 13 | pF |
| Temperaturkoeffizient von V_O Temperature coefficient of V_O | TC_V | — 2.6 | — 2.6 | mV/K |
| Temperaturkoeffizient von I_{SC} Temperature coefficient of I_{SC} Normlicht/standard light A $\lambda = 950 \text{ nm}$ | TC_I | 0.18 — | — 0.2 | %/K |
| Rauschäquivalente Strahlungsleistung Noise equivalent power $V_R = 10 \text{ V}$, $\lambda = 850 \text{ nm}$ | NEP | $6.5 \cdot 10^{-15}$ | $6.5 \cdot 10^{-15}$ | $\frac{\text{W}}{\sqrt{\text{Hz}}}$ |
| Nachweisgrenze, $V_R = 10 \text{ V}$, $\lambda = 850 \text{ nm}$ Detection limit | D^* | $8.4 \cdot 10^{12}$ | $8.4 \cdot 10^{12}$ | $\frac{\text{cm}}{\text{W}}$ |

Relative Spectral Sensitivity

$$S_{\text{rel}} = f(\lambda)$$

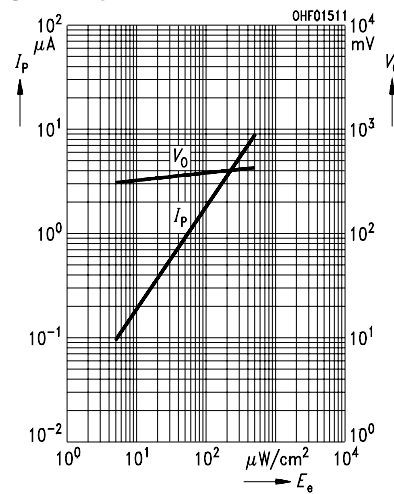
SFH 229



Photocurrent $I_P = f(E_e)$, $V_R = 5 \text{ V}$

Open-Circuit Voltage $V_O = f(E_e)$

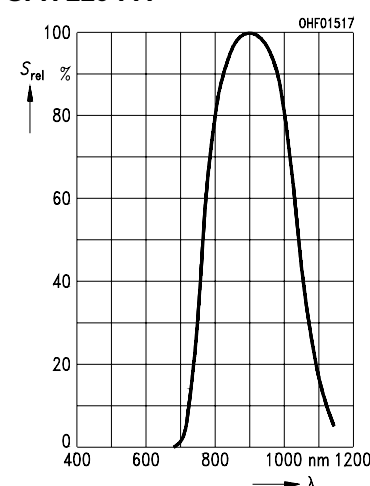
SFH 229 FA



Relative Spectral Sensitivity

$$S_{\text{rel}} = f(\lambda)$$

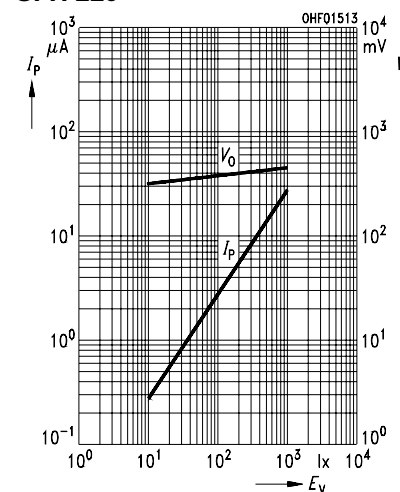
SFH 229 FA



Photocurrent $I_P = f(E_v)$, $V_R = 5 \text{ V}$

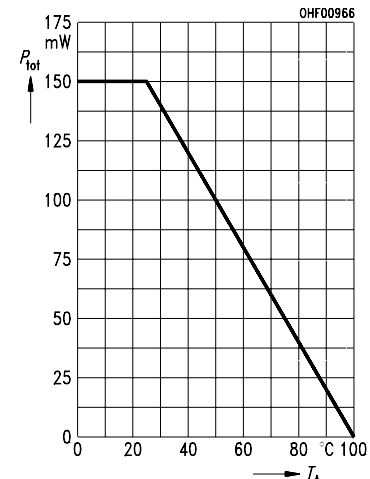
Open-Circuit Voltage $V_O = f(E_v)$

SFH 229



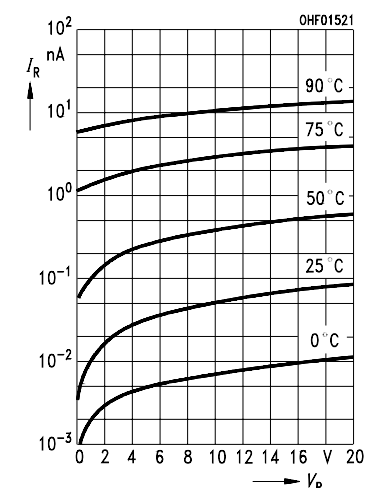
Total Power Dissipation

$$P_{\text{tot}} = f(T_A)$$

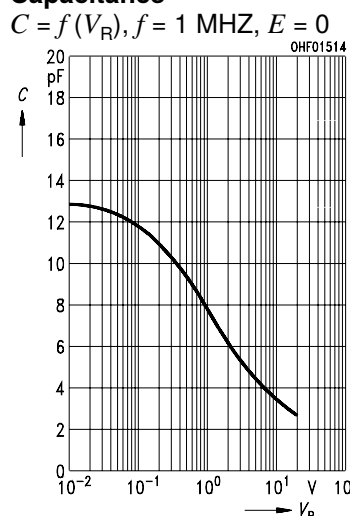


Dark Current

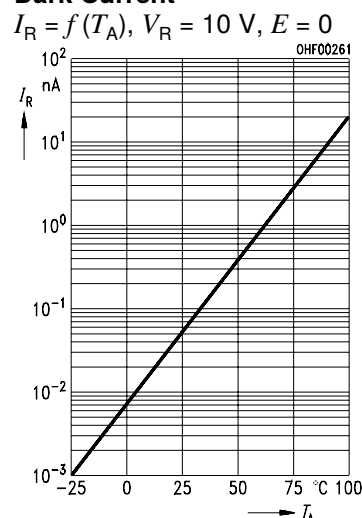
$$I_D = f(V_R), E = 0$$



Capacitance



Dark Current



Directional Characteristics

